

# TECHNIKA CIEPLNA

Czasopismo Stowarzyszenia Dozoru Kotłów w Warszawie.

Oficjalny Organ Polskiego Komitetu Normalizacyjnego dla Spraw Kotłowych.

Redaktor: Inż. techn. JAN KOMARNICKI.

Wydawca: Stowarzyszenie Dozoru Kotłów w Warszawie.

REDAKCJA i ADMINISTRACJA: Warszawa, Chmielna 2, m. 6. Tel. 275-45.

GODZINY BIUROWE: Redakcji—piątki, od 18 do 20, Administracji—codziennie, od 10 do 15.

SPIS RZECZY: Prof. Cz. Grabowski. Zasady hydraulicznej teorii ciągu naturalnego. — Dr. inż. T. Niemczynowski. O palnikach atmosferycznych. — Z. Kłębowski, inż. Obliczenia wytrzymałościowe. — Prof. W. Iwanowski i inż. P. Wojcieszak. Wyniki użycia spirytusowych mieszanek napędowych. — W. Rokitowski, inż. Wybuch zbiornika powietrznego. — PRZEGLĄD KSIĄŻEK. Elektryfikacja polski.

SOMMAIRE. Cz. Grabowski, proff. La théorie hydraulique du tirage naturel. — T. Niemczynowski, Dr., ing. Les brûleurs atmosphériques. — Z. Kłębowski, ing. Les calculs de la résistance des matériaux. — W. Iwanowski, proff. et P. Wojcieszak, ing. Les résultats d'application des mixtures à l'alcool dans les moteurs à explosion. — W. Rokitowski, ing. L'explosion d'un récipient à l'air. — NOUVEAUX LIVRES. L'électrification de la Pologne.

Prof. CZ. GRABOWSKI.

## ZASADY HYDRAULICZNEJ TEORJI CIĄGU NATURALNEGO.

Przepływ gazów spalinowych w piecach i kotłach parowych podlega skomplikowanym prawom fizyczno mechanicznym. Jak ogólnie wiadomo, przyczynę ciągu t. zw. naturalnego stanowi różnica pomiędzy ciśnieniem powietrza pod rusztami i ciśnieniem gazów na dnie komina. Różnica ta będzie tem większa, im wyższy jest komin, a również im wyższą jest temperatura gazów w tym kominie<sup>1)</sup>: zostaje ona użyta na wytworzenie energii kinetycznej gazów i na przezwyciężenie oporów hydraulicznych<sup>2)</sup>.

Zastanawiając się nad naukowymi podstawami, na których oparta być powinna teoria ciągu, znajdujemy poważne luki w odpowiednich działach naszych nauk technicznych: 1) nie znamy bowiem bliżej istotnych praw przepływu gazów spalinowych wogóle, a w szczególności praw, którym podlegają t. zw. opory hydrauliczne; 2) nie znamy również pełnych praw przenoszenia ciepła pomiędzy środowiskiem gazowym a ściankami kotła parowego lub obmurowaniem<sup>3)</sup>.

<sup>1)</sup> oraz im mniejsze są opory hydrauliczne w samym kominie. Zobaczymy jednak dalej (rozdz. 5), że wzrost temperatury gazów kominowych nie zawsze powiększa sprawność komina, t. j. nie zawsze powiększa ilość gazów, przepływających przez komin, aczkolwiek powiększa ich objętość.

<sup>2)</sup> Jako model, ilustrujący zasadę działania komina, służyć może rurka w kształcie litery U (rys. 1, por. str. 136) napełniona wodą i ogrzana u dołu z jednego boku (w punkcie a); ciecz ogrzana unosi się będzie do góry i wylewa przez otwór b; aby proces ten zachodził bez przerwy, odpowiednia ilość wody powinna stale dopływać przez otwór c. Gdybyśmy usunęli palnik, to woda przelewałaby się nad otworem c.

<sup>3)</sup> O zakresie obecnej hydromechaniki będę miał możność powiedzieć słów kilka w rozdz. 1. Co się zaś

Zadawalniając się jednak czysto technicznym ujęciem tej sprawy, dojdziemy (w rozdz. 2) do wniosku, że całokształt zjawisk, które zachodzą podczas przepływu gazów ogrzewających kocioł parowy, jest nader skomplikowany, a zatem inżynierom i technikom potrzebna jest przede wszystkim prosta — *schematyczna* teoria ciągu, która wyjaśniałaby ogólny charakter tego rodzaju zjawisk. Teorią taką jest t. zw. hydrauliczna teoria ciągu.

tyczy praw przenoszenia ciepła środowisku gazowemu, to obecna teoria prof. Nusselta i dra Reihera (Dr. Ing. H. Reiher. Wärmeübertragung von strömender Luft an Rohre und Röhrenbündel im Kreuzstrom. — Forschungsarbeiten VDI, H. 269 r. 1925) podaje nam jedynie wzory o charakterze statystycznym, t. j. wzory do formułowania rezultatów, otrzymanych drogą doświadczenia, lecz wzory te naukowo nie są jeszcze dostatecznie uzasadnione. Oparte są one na prawach podobieństwa hydrodynamicznego i termicznego i mogą być stosowane jedynie do kotłów wodnorurkowych, ale do rur płomieniowych i kanałów bocznych nie znalazły jeszcze zastosowania.

Encyklopedję nowoczesnych prac o przenoszeniu ciepła czytelnik znajdzie 1) w podręczniku prof. ten Boscha z Zurychu: *Die Wärmeübertragung* (wyd. 2 r. 1927. Berlin. Springer) i 2) w podręczniku dr. inż. F. Merkela docenta politechniki w Dreźnie: *Die Grundlagen der Wärmeübertragung* (Drezno i Lipsk. Steinkopff 1927).

W sprawie przenoszenia ciepła w aparatach przemysłowych ogłosiłem szereg artykułów w „Gaz. Cukr.” (w Nr 47 i 48 r. 1927, w Nr Nr 20, 21, 22, Nr Nr 31, 32, Nr Nr 45, 48, Nr Nr 49, 52 r. 1928; w Nr Nr 6, 7 i 14 r. 1929).

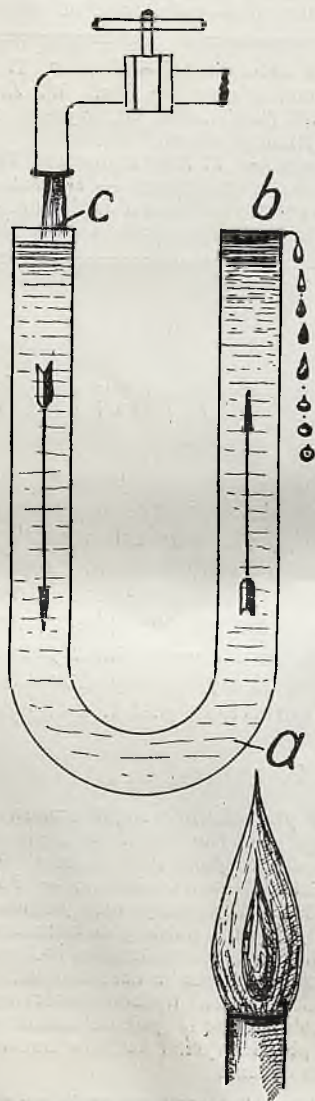
W jednym z tych artykułów (Nr 20 — 22 r. 1928) uwzględniłem specjalnie w formie popularnej te wiadomości z hydromechaniki, na których oparte są nowoczesne teorie przenoszenia ciepła w cieczach i w gazach.



# 1. Przemiany termodynamiczne w prądzie gazów, ogrzewających kocioł parowy.

Podstawowym prawem *ustalonego* ruchu ciał płynnych jest prawo Daniela Bernoulli'ego. Do ciał gazowych stosowane ono być może jedynie dla nieskończonego małego elementu, t. j. w formie różniczkowej:

$$\frac{dp}{\gamma} + d \frac{w^2}{2g} + dz = 0 \quad (1)$$



Rys. 1.

gdzie  $\frac{dp}{\gamma} = v dp$  ( $v = 1 : \gamma$  — obj. wł.,  $p$  ciśnienie hydrodynamiczne) jest to elementarna „praca techniczna“<sup>4)</sup>,  $d \frac{w^2}{2g}$  — przyrost energii kinetycznej ( $w$  — prędkość w kierunku osi prze-

pływu),  $dz$  — przyrost energii potencjalnej ( $z$  — wysokość t. zw. „niwelacyjna“); w technice wartości te wyrażamy w  $kg. m$  w przeliczeniu na 1  $kg$  gazu, a więc wyrażamy je w  $kg. m / kg$  t. j. w metrach<sup>5)</sup>.

Prawo to w formie ogólnie stosowanej

$$\frac{p}{\gamma} + \frac{w^2}{2g} + z = const \quad (2)$$

wyprowadzone zostało w założeniu, że  $\gamma = const$ , nie uwzględnia ono t. zw. tarcia wewnętrznej cieczy ani też jakichkolwiek innych *oporów hydraulicznych*, a więc słusznym jest jedynie w teorii — dla cieczy niesściśliwych i t. zw. doskonałych (t. j. nie podlegających tarcia wewnętrznemu), pracujących w idealnych warunkach<sup>6)</sup>.

Wychodząc z założenia, że opory hydrauliczne proporcjonalne są do energii kinetycznej, hydromechanika techniczna do równ. (2) dodaje wyraz, uwzględniający stratę energii na opory hydrauliczne, a mianowicie

$$Z = \zeta \frac{w^2}{2g} \quad (3)$$

<sup>5)</sup> Równanie (1) w formie

$$dp + \gamma d \frac{w^2}{2g} + \gamma dz = 0$$

uwzględnia działanie na badany element sił wewnętrznych (a więc przyrost ciśnienia *hydrodynamicznego*  $dp$  w kierunku osi przepływu), działanie siły ciężkości  $\gamma dz$  badanego elementu oraz siłę bezwładności ( $\gamma d \frac{w^2}{2g}$  — a więc

prawo d'Alembert'a).

<sup>6)</sup> Hydromechanika teoretyczna a) daje nam dynamikę cieczy doskonałych i niesściśliwych, b) teorię ruchu t. zw. laminarnego, uwzględniającą do pewnego stopnia prawa lepkości, c) zasadnicze wiadomości o t. zw. niezakłóconym ruchu burzliwym cieczy rzeczywistych. Pionierem tej ostatniej nowej dziedziny wiedzy w chwili obecnej jest profesor Politechniki Warszawskiej inż. Michał Broszko, który teorię swoją zreferował na drugim międzynarodowym zjeździe mechaniki technicznej („Ueber turbulente Strömung durch Röhren. Verhandlungen des 2 Internationalen Kongresses für Technische Mechanik“ 1927 st. 465 i nast.), a następnie ogłosił w szeregu prac w „Zeitschr. f. Physik“ w r. 1927:

1. Ueber die Irrtümlichkeit der Navier — Stokes'schen Hydromechanik (t. 43 zeszyt 7).

2. Neue Grundgleichungen der Mechanik wirklicher Flüssigkeiten (t. 44, zeszyt 1 i 2).

3. Erwiderung auf die Bemerkungen des Herrn W. Tollmien zu meinen hydrodynamischen Arbeiten (t. 46, zeszyt 1 i 2).

Zasadnicze wiadomości z hydromechaniki czytelnik znajdzie w dziełku T. Truskolańskiego „Hydromechanika“ (z przedmową prof. Hubera. Lwów 1925) oraz w dziełku prof. v. Misesa; „Elemente d. technischen Hydromechanik“ (Lipsk, Berlin. Teubner 1914).

W niedalekiej przyszłości ma wyjść z druku w języku niemieckim kurs hydromechaniki prof. Lichtensteina (Berlin wyd. Springer).

<sup>7)</sup> Opory hydrauliczne składają się 1) ze strat energii na „tarcie wewnętrzne“ ruchu laminarnego, 2) ze strat energii na normalny ruch burzliwy — falisty (t. zw. ruch burzliwy niezakłócony), 3) ze strat energii na tarcie o ściany rury, kanału lub innego łożyska, 4) ze strat energii na przewyciężenie oporów specjalnych, które *zakłócają* ruch normalny; opory takie dają nam wszelkie tamy — zasuw, zawory, a także zmiana szybkości i kierunku ruchu. Jasną więc jest rzeczą, że techniczna forma matematycznego ujęcia tych oporów posiada charakter jedynie *statystyczny* i nie wyjaśnia istoty zagadnienia.

<sup>4)</sup> patrz prof. Stefanowski „Termodynamika techniczna“ str. 16.



a zatem dla gazów techniczna forma prawa Bernoulli'ego otrzyma postać różniczkową:

$$\frac{dp}{\gamma} + d \frac{w^2}{2g} + dz + \frac{w^2}{2g} d\zeta = 0. \quad (3)$$

Chcąc równanie (3) powiązać ze zjawiskami cieplnymi, które zachodzą w badanym prądzie gazu, (przyjmując prąd poziomy t. j.  $dz = 0$ ) nadamy temu równaniu postać termodynamiczną

$$-A v dp = A d \frac{w^2}{2g} + A \frac{w^2}{2g} d\zeta. \quad (4)$$

(gdzie  $A = \frac{1}{427} \frac{\text{Kcal}}{\text{kg} \cdot \text{m}}$ ; w kierunku prądu ga-

zów  $dp < 0$ ). A więc t. zw. praca techniczna wykonana przez gaz, zostaje zużyta na wytworzenie energii kinetycznej i przezwyciężenie oporów hydraulicznych. Energia zużyta na przezwyciężenie oporów hydraulicznych zamienia się na ciepło, a zatem

$$A \frac{w^2}{2g} d\zeta = dq \quad (5)$$

Przechodząc pod kotłami parowymi, gazy spalinowe znaczną część swego ciepła oddają ściankom kotła (oraz pewną stosunkowo nieznaczną) obmurowaniu; dla wyżej wymienionego nieskończenie małego elementu gazu, (który w równ. (4) wybraliśmy dla pewnego ściśle określonego miejsca w kanale dymowym) oznaczmy ją  $dQ'$ .

Wskutek oporów hydraulicznych wydziela się  $dq$  ciepła, więc według pierwszego prawa termodynamiki ilość ciepła wytworzona kosztem pracy sił zewnętrznych ( $-A p dv$ ) i energii wewnętrznej ( $-du$ ), równać się będzie (ponieważ  $du < 0$ ,  $dv < 0$ )

$$dQ = -du - A p dv = dQ' - dq \quad (6)^a$$

Sumując trzy ostatnie równania (4, 5, 6) otrzymamy, że

$$-(du + A p dv + A v dp) = -dI = dQ' + A d \frac{w^2}{2g} \quad (7)$$

t. j. strata zawartości ciepła gazów spalinowych zostaje zużyta na wytworzenie energii kinetycznej i na ciepło oddane, a zatem całkowita strata ciepła pod kotłem

$$\Delta I = Q' + A \frac{w^2}{2g} \text{ Kcal/kg gazów} \quad (8)$$

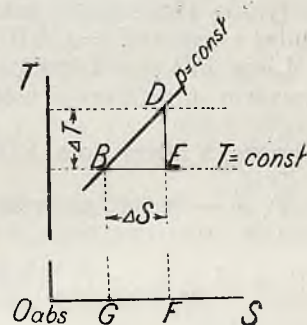
<sup>a</sup> O ile  $dQ = 0$ ,  $dq = 0$  (a zatem  $d\zeta = 0$ ), to mamy proces zwany w fizyce teoretycznej procesem „adjabatycznym odwracalnym“ (lub w skróceniu w termodynamice technicznej — „adjabatycznym“). O ile  $dq > 0$ ,

a  $d \frac{w^2}{2g}$  praktycznie  $= 0$ , mamy wypadek specjalny

procesu adjabatycznego *nieodwracalnego* zwany w technice dławieniem przepływu, gdy praktycznie spadek zawartości ciepła w gazie lub cieczy  $dI = 0$ , t. j. mamy przepływ przy stałej zawartości ciepła.

Można z łatwością dowieść, że w równaniu tem  $A \frac{w^2}{2g}$  jest wartością bardzo małą w porównaniu z  $Q$ .

Jeżeli nadawanie gazom spalinowym pożądaną szybkości traktować będziemy oddzielnie od ogrzewania kotła i oporów hydraulicznych nie będziemy uwzględniali, to wyeliminowane w ten sposób wytwarzanie energii kinetycznej będzie procesem adjabatycznym odwracalnym. Spróbujmy więc dla takiego fikcyjnego procesu adjabatycznego określić spadek temperatury, odpowiadający szybkości gazów u wylotu z komina  $=$  około  $7 \text{ m/sek}$ . Na wykresie entropowym  $T-S$  (rys. 2) wyrazi się on prostą pionową  $DE$ .



Rys. 2.

Zawartość ciepła w punkcie  $E$  dla gazów doskonałych równa się zawartości ciepła w punkcie  $B$  (t. j.  $I_E = I_B$ ). Przemiana izobaryczna  $BD$  ( $p = \text{const}$ ) wymagałaby dostarczenia  $c \Delta T$  Kcal/kg (gdzie  $c$  ciepło właściwe pod stałym ciśnieniem wyrażone w Kcal/kg. stopni), a zatem podczas procesu adjabatycznego ( $DE$ ) na energię kinetyczną  $1 \text{ kg}$  gazu zamienia się  $c \Delta T$

$$\text{Kcal/kg gazu. A więc } \frac{w^2}{2g} = 427 \frac{\text{kg} \cdot \text{m}}{\text{Kcal}} \times c \Delta T \frac{\text{Kcal}}{\text{kg}} \quad (9)$$

skąd dla  $w = 7 \text{ m/sek}$ ,  $c = 0,25 \text{ Kcal/kg stopni}$  ( $2g = \approx 20 \text{ m/sek}^2$ ) otrzymamy

$\Delta T < 1/40^\circ$ , czyli spadek temperatury spowodowany wytworzeniem energii kinetycznej gazów jest tak mały, że nie należy go brać pod uwagę i wyżej wyjaśniony proces po wyeliminowaniu go od wymiany ciepła i od oporów hydraulicznych traktować możemy jako proces z technicznego punktu widzenia *izotermiczny*, a ilość energii cieplnej zużyta na wytworzenie energii kinetycznej gazów spalinowych jest również znikomą małą, bo wynosi zaledwie  $1/170 \text{ Kcal/kg}$  gazu.

Zależność pomiędzy  $\Delta p$  spadkiem ciśnienia i wytworzoną energią kinetyczną ( $w^2 : 2g$ ) gazów spalinowych dla procesu odwracalnego adjabatycznego na podstawie wykresu entropowego określić możemy w sposób następujący. Podczas



rozprężania adjabatycznego  $DE$  (rys. 2) mamy taki sam spadek ciśnienia  $\Delta p$ , jak i podczas rozprężania izotermicznego  $BE$ . To ostatnie rozprężanie wymagałoby doprowadzenia ciepła  $BEFG$

w celu wykonania pracy technicznej  $\int_B^E v dp$  (po-

niważ, jak dopiero co było powiedziano,  $I_B = I_E$ ), ponieważ zaś spadek ciśnienia  $\Delta p$  jest niezna-  
czny, więc w pierwszym przybliżeniu możemy przyjąć, że podczas rozprężania ( $BE$ ) izotermicz-  
nego  $v = 1 : \gamma = \infty \text{ const}$ , a zatem  $Q_{BE} =$

$= BEFG = A \frac{\Delta p}{\gamma}$ . Jak wyżej było powiedzia-

ne, podczas rozprężania adjabatycznego  $DE$  na energję kinetyczną zamienia się ilość ciepła  $c \Delta T$ , która (jak widać z wykresu)  $= GBDEF = BDE +$   
 $+ BEFG$ . Linja  $BD$  jest krzywą logarytmiczną, lecz w pierwszym przybliżeniu możemy ją przy-

jąć za linję prostą, a zatem pole  $BDE = \frac{\Delta T}{2} EB$ .

Lecz  $BE = \Delta S$  — jest to przyrost entropji pod-  
czas rozprężania izotermicznego, a zatem  $BE =$   
 $= Q_{BE} : T = A \Delta p : \gamma T$ , a pole  $BDE =$

$= A \frac{\Delta p}{\gamma} \cdot \frac{\Delta T}{2T}$ . A zatem ciepło zamienione

na energję kinetyczną podczas procesu adjabatycz-  
nego  $= Aw^2 : 2g = \frac{A \Delta p}{\gamma} \left(1 + \frac{\Delta T}{2T}\right)^9$ . (10)

gdzie  $T$  — temperatura bezwzględna.

Ponieważ jednak przy  $w = 7 \text{ m/sek}$   $\Delta T =$   
 $= \frac{1^\circ}{40}$ , więc w danym wypadku możemy przy-

jąć, że  $\frac{w^2}{2g} = \sim \frac{\Delta p}{\gamma}$  (jak to zwykle przyjmu-

jemy dla cieczy), t. j. zjawisk termodynamicz-  
nych możemy nie brać pod uwagę<sup>10)</sup>.

<sup>9)</sup> czyli podczas rozprężania adjabatycznego gazu doskonałego uzyskana energja kinetyczna równa się pracy technicznej rozprężania  $A v dp$  (co wynika bezpośrednio z praw mechaniki — równ. 1) + ciepłu  $BDE$

$$= \sim A \Delta p \Delta T : \gamma T.$$

<sup>10)</sup> Z rozważań powyższych wydać by się mogło, że do różniczkowego równania hydrodynamicznego (1) dla nieskończenie małego rozprężania adjabatycznego (odwr.) powinna być wprowadzona poprawka  $dq_s : A$  na ciepło wyrażone polem trójkąta  $BDE$ . Łatwo jednak zauważyć, że w wypadku tym  $DE = dT$ ,  $BE = dS$ , t. j. pole  $BDE$  było by wielkością nieskończenie małą drugiego rzędu.

Ogrzanie gazów wskutek oporów hydraulicznych  $q \text{ Kcal/kg}$  gazów obliczyć łatwo na podstawie rozumowania następującego. Przyjmijmy stosunkowo znaczną wartość tych oporów, np.  $30 \text{ mm}$  słupa wodnego, t. j.  $30 \text{ kg/m}^2$ , co, jak zobaczymy dalej (rozdz. 2), odpowiada

$$\int_0^k \gamma_g \frac{w^2}{2g} d\zeta = H_m \gamma_m = 30 \text{ kg/m}^2 \text{ — gdzie } \gamma_g \text{ —}$$

cięż wł. gazów spalinowych zmienny w różnych miejscach kanałów kotła,  $\gamma_m$  — przeciętny cięż.

właściwy,  $H_m$  — wysokość słupa gazów  $\left(\frac{\text{m} \cdot \text{kg}}{\text{kg}}\right)$

odpowiadająca energii zużytej na pokonanie oporów hydraulicznych. Ponieważ obliczenia moje mają charakter jedynie orientacyjny, przyjmuję przeciętną temperaturę gazów, ogrzewających kocioł, jako średnią arytmetyczną z temperatury początkowej i temperatury końcowej, np. przyjmuję temp. gazów pochodzących z paleniska  $1092^\circ \text{ C}$ , gazów kominowych  $273^\circ \text{ C}$ , a przecięt-

$$\text{ną } 682^\circ \text{ C} = 955^\circ \text{ abs, skąd } \gamma_m = \frac{1,3,273}{955} =$$

$$= \sim 0,4 \text{ kg/m}^3, H = 75 \frac{\text{mkg}}{\text{kg}} \text{ co odpowiada}$$

$$\frac{75}{4 \cdot 7} = \sim \frac{1}{6} \text{ Kcal/kg gazu.}$$

Tak więc z rozważań powyższych wynika, że w teorii ciągu gazów, ogrzewających kocioł parowy, nie mamy najmniejszej potrzeby uwzględniać te przemiany termodynamiczne, które spowodowane są stratą energii na wytworzenie pożądaney szybkości gazów i na pokonanie oporów hydraulicznych. A zatem z dokładnością zupełnie dostateczną do celów technicznych możemy przy-

jąć, że  $A \frac{w^2}{2g}$  i  $A \int \frac{w^2}{2g} d\zeta$  są to wartości tak nie-

znaczne, iż  $Q = \infty Q'$ , a  $\Delta I = Q'$ , czyli ciepło, które gazy spalinowe tracą pod kotłami parowemi, idzie całkowicie na ogrzanie kotła (i w nieznanym stopniu na ogrzanie obmurowania), czyli ogólnie przyjęta zasada obliczania tego ciepła jest słuszna i nie wymaga bynajmniej poprawek termodynamicznych.

Po odrzuceniu zatem równań cieplnych (5,6), powstaje sprawa zcałkowania równania (3). Uczynimy to wypadku najprostszym — gdy  $dz = 0$  — dla poziomego kanału kotła parowego.

(d. c. n.)

Dr. inż. TADEUSZ NIEMCZYŃSKI.

## O PALNIKACH ATMOSFERYCZNYCH.

(por. *Technika Ciepła*, rok 1929, str. 128.)

## II. Obliczenie palnika gazowego.

Przyjmujemy następujące oznaczenia (rys. 3):

 $p$  = ciśnienie w  $kg/m^2$  czyli  $mm$  sł. wody $w$  = prędkość w  $m/sec$ 

$$v = \frac{1}{\gamma} = \text{objętość właściwa w } m^3/kg$$

$$\gamma = \frac{1}{v} = \text{ciężar właściwy w } kg/m^3$$

 $F$  = przekrój w  $m^2$ . $p_3, w_3, F_3, v_3, \gamma_3$  — dla gazu dopływającego $p, w, F, v, \gamma$  — w wylocie dyszy $p_2, w_2, F_2, v_2, \gamma_2$  — dla powietrza dopływającego $v_1, w_1, F_1, v_1, \gamma_1$  — w największym przekroju mieszalnika $p_0, w_0, F_0, v_0, \gamma_0$  — u wylotu dyfuzora $p_x$  — ciśnienie w mieszalniku $G$  — ilość gazu dopływ w  $kg/sec$  $G_2$  — ilość powietrza „ „ „ „ $G_0$  — ilość mieszanki wypływającej z dyfuzora w  $kg/sec$ 

Rys. 3. Schemat palnika gazowego.

Oznaczamy dalej stosunki:

$$\frac{F_1}{F} = m, \quad \frac{F_2}{F} = n, \quad \frac{F_1}{F_0} = \delta$$

## 1. Równanie ciągłości brzmii:

$$G + G_2 = G_0$$

$$F w \gamma + F_2 w_2 \gamma_2 = F_0 w_0 \gamma_0 = F_1 w_1 \gamma_1$$

Po podzieleniu przez  $F$ .

$$w \gamma + n w_2 \gamma_2 = m w_1 \gamma_1 \quad . \quad . \quad . \quad (4)$$

## 2. Równanie energii.

Rozpatrujemy słup mieszanki, znajdujący się w nasadce między przekrojami  $F_1$  i  $F_0$  (Rys. 3). Na słup ten działają następujące siły:W przekroju  $F_1$ :1) ciśnienie w mieszalniku  $F_1 p_x$ .

2) siła uderzenia strumienia gazu liczona na 1 sek)

$$\frac{G}{g} [w - w_1]$$

3) siła uderzenia dopływającego powietrza

$$\frac{G_2}{g} [w_2 - w_1]$$

Energja potencjalna równa się:

$$F_1 p_x w_1 + \frac{G}{g} [w - w_1] w_1 + \frac{G_2}{g} [w_2 - w_1] w_1$$

Dochodzi jeszcze energja kinetyczna:

$$4) \quad \frac{G + G_2}{2g} w_1^2$$

Energja całkowita

$$E_1 = F_1 p_x w_1 + \frac{G}{g} [w - w_1] w_1 + \frac{G_2}{g} [w_2 - w_1] w_1 + \frac{G + G_2}{g} \cdot \frac{w_1^2}{2}$$

Na przekroju  $F_0$ :1) przeciwcisnienie  $F_0 p_0$ 2) energja kinetyczna  $\frac{G + G_2}{g} \frac{w_0^2}{2}$ 

$$E_2 = F_0 p_0 w_0 + \frac{G + G_2}{g} \frac{w_0^2}{2}$$

Energja  $E_2$  jest mniejsza od  $E_1$  o straty na wiry, uderzenia i t. p.

$$E_1 = E_2 + R$$

Po podstawieniu i pewnej przeróbce otrzymujemy

$$F_0 w_0 p_0 - F_1 w_1 p_x = \frac{G}{g} w \cdot w_1 + \frac{G_2}{g} w_2 w_1 - \frac{G + G_2}{2g} (w_0^2 + w_1^2) + R$$

Zakładamy dla celów dalszych rachunków, że

1)  $R = 0$ , palnik idealny bez strat,2)  $\gamma_0 = \gamma_1$  czyli  $F_0 w_0 = F_1 w_1$ Po podstawieniu za  $G$  wartości  $F w \gamma$  i t. p. otrzymujemy po pewnych uproszczeniach:

$$2g(p_0 - p_x) = \frac{2\gamma}{m} w^2 + 2\gamma_2 \frac{n}{m} w_2^2 - \gamma_1 (w_0^2 + w_1^2)$$

Ustalając jeszcze relację  $\frac{F_1}{F_0} = \delta$ , mamy

$$\frac{F_1}{F_0} = \frac{w_0}{w_1} = \delta.$$

$$2g(p_0 - p_x) = \frac{2\gamma}{m} w^2 + 2\gamma_2 \frac{n}{m} w_2^2 - \gamma_1 w_1^2 (1 + \delta^2)$$



Jak wiadomo, prędkość wypływu gazu dla niewielkiej różnicy ciśnień określa się wzorem

$$w = \sqrt{2g \frac{p_1 - p_2}{\gamma}}$$

Przyjmując dla naszego palnika ciśnienie wylotowe  $p_0$  równe ciśnieniu atmosferycznemu  $p_x$ , oraz uważając, że ciśnienie w mieszalniku równe jest  $p_x$ , możemy prędkość wpływu powietrza  $w_2$  określić wzorem

$$w_2 = \sqrt{2g \frac{p_0 - p_x}{\gamma_2}} \quad \text{czyli}$$

$$\gamma_2 w_2^2 = 2g(p_0 - p_x)$$

Po podstawieniu powyższego wyrażenia we wzór zasadniczy otrzymujemy ostatecznie:

$$\gamma_2 w_2^3 = \frac{2\gamma}{m} w^3 + 2\gamma_2 \frac{n}{m} w_2^2 - \gamma_1 w_1^3 (1 + \delta^2)$$

czyli  $\gamma_2 w_2^3 \frac{m - 2n}{m} = \frac{2\gamma}{m} w^3 - \gamma_1 w_1^3 (1 + \delta^2)$  (5)

Do wyeliminowania niepotrzebnej nam prędkości  $w_1$  użyjemy równania (4)

$$w_1 = \frac{1}{m} \frac{\gamma}{\gamma_1} w + \frac{n}{m} \frac{\gamma_2}{\gamma_1} w_2$$

Po wykonaniu dość uciążliwych rachunków uzyskujemy końcowe równanie:

$$\left(\frac{w_2}{w}\right)^3 \left(m(m - 2n) + (1 + \delta^2) n^2 \frac{\gamma}{\gamma_1}\right) +$$

$$+ \left(\frac{w_2}{w}\right)^2 (1 + \delta^2) n \frac{\gamma}{\gamma_1} + \left((1 + \delta^2) \frac{\gamma_2}{\gamma_1 \gamma_2} - 2m \frac{\gamma}{\gamma_2}\right) = 0 \quad (6)$$

Z równania tego możemy wyznaczyć zależność  $\left(\frac{w_2}{w}\right)$  od wymiarów palnika.

Wyznaczenie tego związku nie jest jednak takie proste. Ponieważ równanie (6) jest równaniem kwadratowym, otrzymuje się wyrażenia tak skomplikowane, że niewiadomo, co z nimi począć. Dyskusja jest prawie niemożliwa.

Dla usunięcia tej trudności, godzimy się na jeszcze jedno uproszczenie: opuszczamy drugi wyraz równania jako mały w stosunku do dwu innych.

Uzyskujemy przez to bez porównania prostsze wyrażenie:

$$\frac{w_2}{w} = \sqrt{\frac{\gamma}{\gamma_2} \frac{2m - (1 + \delta^2) \frac{\gamma}{\gamma_1}}{m(m - 2n) + (1 + \delta^2) n^2 \frac{\gamma_2}{\gamma_1}}} \quad (7)$$

W ciągu dalszej dyskusji nie będziemy używali stosunku prędkości  $\frac{w_2}{w}$ , lecz stosunek ciężaru nassanego powietrza do ciężaru gazu

$$\frac{G_2}{G} = \sigma$$

Wielkość ta podaje nam wprost nadwyżkę powietrza przy spalaniu.

$\sigma$  wyliczamy na podstawie następującego rozumowania.

$$\sigma = \frac{G_2}{G} = \frac{F_2 w_2 \gamma_2}{F w \gamma} = n \frac{\gamma_2}{\gamma} \cdot \frac{w_2}{w}$$

a po podstawieniu równania (7)

$$\sigma = n \sqrt{\frac{\gamma_2}{\gamma} \frac{2m - (1 + \delta^2) \frac{\gamma}{\gamma_1}}{m(m - 2n) + (1 + \delta^2) n^2 \frac{\gamma_2}{\gamma_1}}} \quad (8)$$

Nadwyżka  $\sigma$  czyli ilość  $kg$  powietrza nasanego przez 1  $kg$  gazu zależy więc wyłącznie od stosunków przekrojów i ciężarów właściwych, a nie od ich bezwzględnych wartości.

Znajomość wymiarów palnika  $m$ ,  $n$  i  $\delta$  nie wystarcza jednak do określenia wartości  $w_2$  i  $\sigma$  z równań (7) i (8), mimo, że i tak nie są one dokładne, lecz ważne tylko dla palnika idealnego bez strat i otrzymane przy przyjęciu rozmaitych założeń upraszczających. Pod pierwiastkami wspomnianych wyrażeń znajdują się stosunki

ciężarów właściwych  $\frac{\gamma_1}{\gamma}$ ,  $\frac{\gamma_2}{\gamma}$  i  $\frac{\gamma_1}{\gamma_2}$ , sto-

sunki, które nie są dane i które musi się osobno wyrachować.

Stosunki te nie są niezależne, przeciwnie, wielkość ich uwarunkowana jest właśnie stosunkiem mieszanki czyli prędkościami  $w_2$  i  $w$ , które mają wyznaczać.

Mianowicie ( $\gamma$ ) zależy od ciśnienia w mieszalniku ( $p_x$ ). Od tegoż ciśnienia zależy także prędkość wypływu ( $w$ ). Wiadomem jest znowu z pomiarów Zeunera, że depresja zależy od kwadratu prędkości wypływu, a raczej od wysokości

ciśnienia  $\frac{w^2}{2g}$ .

Widzimy więc, że tworzy się tutaj błędne koło wzajemnych zależności, z którego wyjście daje tylko metoda kolejnych przybliżeń, polegająca na tem, że po przyjęciu jednej wielkości w sposób cykliczny wyrachowuje się wszystkie inne, powtarzając rachunki tak długo, aż poszczególne wyniki zaczną się różnić bardzo nieznacznie.

Jest to metoda zmuDNA i uciążliwa, zwłaszcza przy dużej ilości zmiennych, ale jedyna, jaką się możemy w takich wypadkach posługiwać.

W dalszym ciągu podaję schemat, według którego można w sposób najszybszy wyznaczyć najważniejsze daty i wymiary palnika.

Schemat ten wygląda następująco:

1. Z równania (1)

$$w = \varphi \sqrt{2g \frac{n}{n-1} p_3 \gamma_3 \left[ 1 - \left( \frac{p_x}{p_3} \right)^{\frac{n-1}{n}} \right]}$$

obliczamy pod założeniem  $p_x = p_2 = p_0$  przybliżoną prędkość  $w$  dotyczące współczynniki  $\varphi$  i  $n$  podane zostaną poniżej.

2. Obliczamy przybliżony ciężar właściwy gazu w wylocie dyszy z wzoru

$$\gamma = \frac{p_2}{RT_2}$$

3. Obliczamy ciężar właściwy powietrza  $\gamma_2$  z wzoru

$$\gamma_2 = \frac{p_2}{R' T_2}$$

4. We wzorze (7) podstawiamy

$$\gamma = \gamma_2 = \gamma_1$$

$$\frac{w_2}{w} = \varepsilon = \sqrt{\frac{2m - (1 + \delta^2)}{m(m - 2n) + (1 + \delta^2)n^2}}$$

5. Mając dane powyższe wielkości, możemy wyznaczyć ciężar mieszaniny  $\gamma_1$  na podstawie następującego rozumowania.

Ciężar 1  $m^3$  gazu przy ciśnieniu  $p_1$  wynosi

$$\gamma \frac{p_1}{p_x}$$

podobnie dla powietrza

$$\gamma_2 \frac{p_1}{p_2}$$

Całkowita objętość zajęta przez gaz  $G$  i powietrze  $G_2$  wynosi

$$\gamma \frac{G}{p_x} + \gamma_2 \frac{G_2}{p_2}$$

i równa jest

$$\frac{G + G_2}{\gamma_1}$$

Stąd otrzymujemy po pewnej przeróbce

$$\gamma_1 = \frac{\gamma + n \left( \frac{w_2}{w} \right) \gamma_2}{\frac{p_x}{p_1} + n \left( \frac{w_2}{w} \right) \frac{p_2}{p_1}}$$

Przyjmujemy w pierwszym przybliżeniu

$$p_1 = p_x = p_2$$

i otrzymujemy

$$\gamma_1 = \frac{\gamma + n \left( \frac{w_2}{w} \right) \gamma_2}{1 + n \left( \frac{w_2}{w} \right)} \dots (10)$$

Przybliżoną wartość  $\left( \frac{w_2}{w} \right)$  mamy wyz-

naczoną z równania (9) punkt 4 jako  $\varepsilon$

$$\gamma_1 = \frac{\gamma + n \varepsilon \gamma_2}{1 + n \varepsilon} \dots (10a)$$

6. Z powyższych danych można wyznaczyć z wzoru (7) wartość  $w_2$ .

7. Nakoniec z wzoru

$$p_x = p_2 - \gamma_2 \frac{w_2^2}{2g} \dots (11)$$

dokładniejsza nieco wartość dla ciśnienia  $p_x$ .

Na podstawie otrzymanych wartości należy teraz po raz drugi przeliczyć punkty 1 do 7, powtarzając czynność powyższą tak długo, aż wyniki poszczególnych rachunków zaczną się różnić bardzo nieznacznie.

Schemat podany nie jest obowiązujący. Można zastosować także schematy inne, z obliczaniem kolejnym np.  $p_x$  według punktów 1, 2, 3, 4, 6 i 7.

Wszystkie schematy prowadzić muszą po dostatecznie dużej ilości rachunków (teoretycznie nieskończenie wielkiej), do tych samych wyników.

Jak widzimy z rozważań na stronach poprzednich, trudno jest pokusić się o dokładne obliczenie palnika. Nawet przy tak znacznych przybliżeniach i uproszczeniach wzory są bardzo skomplikowane, metoda żmudna i uciążliwa, rachunek długi i nieprzejrzysty.

Jednak już na podstawie wyżej przytoczonych, przybliżonych wzorów można wysnuć pewną ilość związków i zależności zarówno co do samych wymiarów i konstrukcji, jak i co do zachowania się palnika w rozmaitych warunkach, a zwłaszcza zorientować się w tak ważnej, a bardzo mało znanej kwestji regulacji.

(d. c. n.),



Z. KLĘBOWSKI Inżynier.

# OBLICZENIA WYTRZYMAŁOŚCIOWE W ŚWIEŁE WYNIKÓW OSTATNICH BADAŃ

(z uwzględnieniem obliczeń elementów kotłowych).

(por. *Technika Ciepłna*, rok 1929, str. 129)

Dla ułatwienia badania sił wewnętrznych (napieć) w danym punkcie materiału, myślowo przecinamy układ przez ten punkt płaszczyzną. W miarę tego, jak taka płaszczyzna przekroju zmienia swoje położenie (orientację) stale przechodząc jednak przez dany punkt, ogólnie rzecz biorąc, siły wewnętrzne również się zmieniają co do wielkości i co do kierunku. Naogół kierunek siły wewnętrznej w danym punkcie przekroju tworzy z normalną płaszczyzną przekroju pewien kąt, zmienny ze zmianą orientacji przekroju (płaszczyzny przekroju). Napiecie w danym punkcie przekroju, odniesione do jednostki powierzchni przekroju, daje napiecie. (Napiecie nazywane jest dość często mniej słusznie natężeniem; napiecie jest wektorem, a więc pojęciem, obejmującym nie tylko wielkość lecz i kierunek; „natężenie” odpowiadałoby raczej pojęciu długości wektora, a nie samemu wektorowi, lub też może być z powodzeniem używane w znaczeniu „natężenia obciążenia” przez co myślanoby o obciążeniu przypadającym na jednostkę: powierzchni, objętości czy masy).

Przez badany punkt można przeprowadzić nieskończoną ilość płaszczyzn o różnej orientacji (to jest takich, których normalne tworzą różne kąty z jakimkolwiek dowolnie obranym ale stałym kierunkiem). Całokształt napieżeń, odpowiadających różnym płaszczyznom przekroju w danym punkcie, określa *stan napięcia* w tym punkcie.

Napiecie w badanym punkcie, danego przekroju, tworzące naogół pewien kąt z normalną tego przekroju, rozkładamy zwykle na składową normalną, zwaną *napieciem normalnym* w badanym punkcie danego przekroju i na składową styczną, zwaną *napieciem stycznym albo ścinającym* (napiecie to nazywa się też czasami przesuwającym i rzadziej tnącym). Napiecia normalne mogą być rozciągające (dodatnie) lub ściskające (ujemne).

W najogólniejszym stanie napięcia materiału w badanym punkcie, znajdują się zawsze takie trzy płaszczyzny przekrojów, wzajemnie prostopadłe, przechodzące przez ten punkt, na których nie ma napieżeń stycznych, a więc całkowite (wypadkowe) napiecie, działające na badany punkt ma kierunek prostopadły do tej płaszczyzny i jest wyłącznie napieciem normalnym.

Takie napiecia normalne zowią się *napiezeniami głównymi*, a odpowiednie kierunki tych napieżeń — *kierunkami głównymi*.

Trzy kierunki główne posiadają własność, iż jeden z nich jest kierunkiem największego, drugi najmniejszego (z uwzględnieniem znaku) napieżenia normalnego w badanym punkcie.

Największe napiecie ścinające leży w płaszczyźnie, przechodzącej przez kierunek średniego co do wielkości (z uwzględnieniem znaku) napieżenia głównego i połowiącej kąt prosty pomiędzy kierunkami pozostałych napieżeń głównych (największego i najmniejszego). Największe napiecie ścinające leży na przecięciu się tak określonej płaszczyzny z płaszczyzną, zawierającą największe i najmniejsze napiecie główne. Wielkość największego napieżenia stycznego równa jest połowie różnicy wielkości największego i najmniejszego napieżenia głównego, a kierunek jego jest zgodny z kierunkiem napieżenia głównego, posiadającego większą wartość absolutną, to znaczy, że rzut największego napieżenia ścinającego na kierunek napieżenia głównego, największego co do wielkości absolutnej, jest jednakowego z nim znaku.

Z powyższego wynika, iż w przypadku zwykłego rozciągania lub ściskania, największe napiecie styczne panuje w przekrojach tworzących kąt  $45^\circ$  z kierunkiem napieżenia normalnego i równe jest połowie tego napieżenia.

W jakiegokolwiek płaszczyźnie układu współrzędnych, na przykład w płaszczyźnie osi  $x, y$ , największe napiecie styczne równa się połowie różnicy odpowiednich napieżeń normalnych (n. p.

$\frac{\sigma_x - \sigma_y}{2}$ ) i połowi kąt pomiędzy osiami  $x, y$  to jest pomiędzy napiezeniami  $\sigma_x$  i  $\sigma_y$ .

Każdemu napieciu stycznemu, panującemu w danym punkcie w jakiegokolwiek płaszczyźnie przekroju, odpowiada napiecie styczne, równe co do wielkości absolutnej pierwszemu. Napiecie to panuje w płaszczyźnie prostopadłej do napieżenia pierwszego. Obydwa te napiecia styczne, równe co do wielkości absolutnej, leżą w jednej płaszczyźnie, prostopadłej do obydwu płaszczyzn przekrojów, odpowiadających omawianym napiezeniom stycznym. Kierunki obu tych napieżeń stycznych nie są jednobieżne, to zn. że idąc myślowo w kierunku jednego napieżenia po rozpatrywanej płaszczyźnie przekroju aż do linii przecięcia się obu płaszczyzn, napotkamy przeciwny kierunek drugiego napieżenia stycznego.

Powyższa własność napieżeń stycznych jest oczywistą, gdyż, gdyby w prostopadłościanie, myślowo wyodrębnionym z badanego ciała, bę-



dającego w równowadze, naprężenia ścinające, działające na jego ścianach, nie czyniły zadość temu warunkowi, nie można by sobie wyobrazić istnienia stanu równowagi prostopadłościannu, a mianowicie: układ naprężeń ścinających, działających na ściany prostopadłościannu, sprowadzałby się do pary sił o pewnym momencie, różnym od zera, powodującym obrót prostopadłościannu,

Naprężenia normalne, mające kierunek osi  $x, y, z$  lub, co na jedno wynosi, działające w danym punkcie przekroju prostopadłego do osi  $x, y, z$ , oznaczamy zwykle przez

$$\sigma_x, \sigma_y, \sigma_z$$

Naprężenia główne oznaczamy przez

$$\sigma_1, \sigma_2, \sigma_3$$

Naprężenie ścinające  $\tau$ , działające na badany punkt w danej płaszczyźnie, nie daje się oznaczyć za pomocą jednego indeksu jak to się ma z naprężeniami normalnymi.

W celu ułatwienia odróżnienia między sobą naprężeń stycznych, rozkładamy naprężenie styczne, działające na badany punkt w danej płaszczyźnie na dwa składowe naprężenia styczne, równoległe do osi współrzędnych, znajdujących się w tej płaszczyźnie.

Każde takie składowe naprężenie styczne, oznaczamy przy pomocy dwóch indeksów, z których pierwszy oznacza oś do której omawiany przekrój jest prostopadły, drugi zaś oznacza oś, do której składowe naprężenie styczne jest równoległe, mamy więc:

$$\tau_{xy} \text{ i } \tau_{xz}$$

$$\tau_{yx} \text{ i } \tau_{yz}$$

$$\tau_{zx} \text{ i } \tau_{zy}$$

Twierdzenie, iż naprężenia styczne w dwu przekrojach, wzajemnie prostopadłych, są co do bezwzględnej wartości równe, wyraża się następującymi równościami:

$$\left. \begin{array}{l} \tau_{xy} = \tau_{yx}; \tau_{yz} = \tau_{zy}; \tau_{zx} = \tau_{xz} \\ \text{lub ogólnie} \end{array} \right\} \quad (1)$$

Przykład. W walcu kotła o średnicy wewn.  $D$  cm grubości ścianki  $g$  cm, poddanego ciśnieniu  $p$  kg/cm<sup>2</sup> w jakimkolwiek punkcie „A” dostatecznie odległym od szwów na wewnętrznej powierzchni cylindrycznej blachy panują w przybliżeniu następujące naprężenia:

$$\left. \begin{array}{l} \text{naprężenie obwodowe} \quad \sigma_x = \frac{D \cdot p}{2 \cdot g} \\ \text{naprężenie osiowe} \quad \sigma_y = \frac{D \cdot p}{4 \cdot g} \\ \text{naprężenie promieniowe} \quad \sigma_z = -p \end{array} \right\} \quad (2)$$

Można dowieść, że w grupie (2) naprężenia

$$\sigma_x, \sigma_y, \sigma_z$$

są naprężeniami głównymi

$$\sigma_x = \sigma_1; \sigma_y = \sigma_2; \sigma_z = \sigma_3$$

Największe naprężenie styczne w punkcie „A” równe jest

$$\begin{aligned} \sigma_{\max} &= \frac{\sigma_1 - \sigma_3}{2} = \frac{\frac{Dp}{2g} - (-p)}{2} = \\ &= \frac{p}{2} \left( \frac{D}{2g} + 1 \right) \quad 3) \end{aligned}$$

W skutek tego, iż w kotłach przeważnie dotychczas używane ciśnienie  $p$  jest małe w porównaniu z naprężeniem  $\sigma_1 = \frac{Dp}{2g}$  przyjmujemy

czasami w podobnych obliczeniach  $\sigma_3 = 0$ , wówczas otrzymujemy:

$$\tau_{\max} = \frac{\sigma_1 - \sigma_3}{2} = \frac{D \cdot p}{4g} \quad 3a)$$

Omawiane naprężenie  $\tau_{\max}$ , pochodzące od naprężeń głównych  $\sigma_1, \sigma_2, \sigma_3$  działa w płaszczyźnie, przechodzącej przez naprężenie osiowe  $\sigma_2$  i połowiącej kąt pomiędzy kierunkiem naprężenia  $\sigma_1$  i zewnętrznym przedłużeniem promienia. Położenie wektora  $\tau_{\max}$  w omawianym przykładzie jest zupełnie określone jeżeli podkreślimy, że leży on prócz tego w płaszczyźnie obu naprężeń głównych obwodowego  $\sigma_1$  i promieniowego  $\sigma_3$  i jest skierowany do zewnętrznej powierzchni ścianki kotła.

Oczywiście, iż dzięki ogólnej własności rozkładu naprężeń stycznych, wyrażającej się równością

$$\tau_{mn} = \tau_{nm}$$

w płaszczyźnie prostopadłej do płaszczyzny zawierającej  $\tau_{\max}$  i również przechodzącej przez kierunek naprężenia  $\sigma_3$  panuje naprężenie  $\tau_{\max}^1$  równe co do absolutnej wielkości naprężeniu  $\tau_{\max}$  które nie jest z tem ostatniem jednobieżne.

Zauważmy, że przy jednoczesnem działaniu rozciągania i równem mu co do wielkości absolutnej ściskaniu w dwu wzajemnie prostopadłych kierunkach, naprężenie styczne na przekrojach znajdujących się pod kątem 45° do tych kierunków równa się wielkości jaką posiada każde z naprężeń normalnych:

$$\begin{aligned} \tau_{\max} &= \frac{\sigma_x - \sigma_y}{2} = \frac{\sigma_x - (-\sigma_x)}{2} = \\ &= \sigma_x = \sigma_y \end{aligned}$$

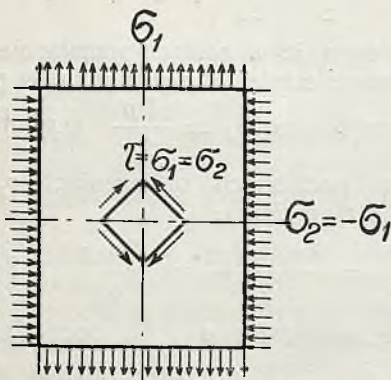
Na przekrojach tych niema naprężeń normalnych. Stan napięcia takiego elementu kwadratowego wydzielonego przekrojami pod kątem 45° do kierunków naprężeń rozciągającego i równego mu ściskającego zowie się *prostem albo ściśtem ścinaniem*. (Rys. 1.)

Naprężenia normalne  $\sigma_x, \sigma_y, \sigma_z$  powodują wydłużenia dodatnie lub ujemne które, odniesione do



jednostki długości, oznaczamy przez  $\epsilon_x$ ,  $\epsilon_y$ ,  $\epsilon_z$ , naprężenia zaś ścinające  $\tau_{xy}$ ,  $\tau_{yz}$ ,  $\tau_{zx}$ , powodują ujemny przyrost kąta pierwotnie prostego, utworzonego pomiędzy kierunkiem działania naprężenia ścinającego i kierunkiem doń prostopadłym. Przyrosty tych kątów oznaczamy przez:  $\gamma_{xy}$ ,  $\gamma_{yz}$ ,  $\gamma_{zx}$ . (Rys. 2.)

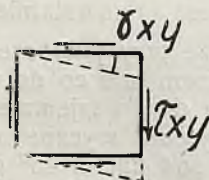
Przy bardzo małych odkształceniach układu, a takie tylko rozważamy w obliczeniach wytrzy-



Rys. 1.

małościowych, wielkości odkształcenia:  $\epsilon_x$ ,  $\epsilon_y$ ,  $\epsilon_z$ ,  $\gamma_{xy}$ ,  $\gamma_{yz}$ ,  $\gamma_{zx}$ , są proporcjonalne do wielkości naprężenia:  $\sigma_x$ ,  $\sigma_y$ ,  $\sigma_z$ ,  $\tau_{xy}$ ,  $\tau_{yz}$ ,  $\tau_{zx}$ , które wywołało dane odkształcenie, jak również jednorodne skutki działania różnych sił dodają się wzajemnie (zasada superpozycji).

Dowodzi się, iż przy najogólniejszych własnościach ciała sprężystego, to jest kiedy gęstość i budowa różnych punktów tego ciała jest różna, a oddzielne punkty ciała posiadają różne własności w różnych kierunkach, naprężenia składowe wyrażają się przez odkształcenia składowe przy pomocy 21 współczynników sprężystości.



Rys. 3.

Takie ogólne zagadnienia są tematami rozważań matematycznych; w technice jednak przyjmujemy zazwyczaj najprostszyp wypadek budowy ciała, a mianowicie z większą lub mniejszą ścisłością przypisujemy materiałom technicznym jednolitość, to jest jednakową gęstość i budowę w każdym punkcie oraz izotropowość, to jest jednakowe własności fizyczne w różnych kierunkach, wspólne dla każdego punktu.

Dla takiego ciała w każdym kierunku mamy  $\sigma = E\epsilon$  (prawo Hooke'a 1676 r.) oraz  $\tau = G \cdot \gamma$ .

Gdzie  $E$  jest współczynnikiem sprężystości (lub modułem sprężystości, zwanym także modułem Young'a) a  $G$  — jest modułem sprężystości postaciowej.

Pomiędzy współczynnikami  $E$  i  $G$  istnieje związek

$$G = \frac{E}{2(1+\mu)} \quad \text{lub} \quad G = \frac{mE}{2(m+1)} \quad (4)$$

gdzie  $\mu = \frac{1}{m}$  jest liczbą Poisson'a

$E$  i  $G$  mają wymiar  $\text{kg/cm}^2$

$\mu = \frac{1}{m}$  jest liczbą oderwaną.

W przybliżeniu dla żelaza zlewnego (a tem samem i kotłowego)

$$E \approx 2.000.000 \text{ kg/cm}^2$$

$$G \approx 650.000 \text{ kg/cm}^2$$

$$\mu \approx 0,3$$

Liczba  $\mu$  ma znaczenie fizyczne, a mianowicie każdemu rozciąganiu dodatniemu lub ujemnemu materiałowi w jakimkolwiek kierunku  $\pm \epsilon$  towarzyszy skurczenie względnie spęcznienie w kierunkach prostopadłych, równe co do wielkości  $\mp \mu \epsilon$ .

Pierwotna objętość pręta, przyjęta za jednostkę, rozciąganego jednowymiarowo, który osiągnął wydłużenie względne  $\epsilon_x$  równa jest po odkształceniu

$$(1 + \epsilon_x) \cdot (1 - \mu \epsilon_x)^2 = (1 + \epsilon_x) \cdot (1 - 2\mu \epsilon_x + \mu^2 \epsilon_x^2) = 1 - 2\mu \epsilon_x + \mu^2 \epsilon_x^2 + \epsilon_x - 2\mu \epsilon_x^2 + \mu^2 \epsilon_x^3 = 1 + \epsilon_x (1 - 2\mu)$$

gdzie zważywszy, że  $\epsilon_x$  i  $\mu \epsilon_x$  są bardzo małymi ułamkami w porównaniu do jednostki, pominęliśmy wyższe rzędy tych wielkości bardzo małych. A więc stosunek przyrostu objętości przy rozciąganiu jednokierunkowym do objętości pierwotnej jest równy

$$\frac{dv}{v} = (1 + \epsilon_x (1 - 2\mu) - 1) : 1 = \epsilon_x (1 - 2\mu) = \frac{1 - 2\mu}{E} \cdot \sigma_x$$

Z tego wzoru wnioskuję się, iż  $\mu$  nie może być większe od 0,5, gdyż w takim razie rozciąganie (dodatnie) wywoływałoby zmniejszenie objętości rozciąganego ciała i odwrotnie, ściskanie — powodowałoby zwiększenie jego pierwotnej objętości.

Przy rozciąganiu dwuwymiarowym stosunek przyrostu objętości do objętości pierwotnej będzie

$$\{(1 + \epsilon_x - \mu \epsilon_y) \cdot (1 + \epsilon_y - \mu \epsilon_x) \cdot [1 - \mu (\epsilon_x + \epsilon_y)] - 1\} : 1 = (1 + \epsilon_x - \mu \epsilon_y + \epsilon_y - \mu \epsilon_x - \mu \epsilon_x - \mu \epsilon_y - \mu \epsilon_x) : 1 =$$



$$= (1 + \epsilon_x (1 - 2\mu) + \epsilon_y (1 - 2\mu) - 1) : 1, \text{ czyli} \\ \frac{dv}{v} = (1 - 2\mu) \cdot (\epsilon_x + \epsilon_y) = \frac{1 - 2\mu}{E} (\sigma_x + \sigma_x)$$

Przy rozciąganiu trójwymiarowym otrzymamy podobnie

$$\frac{dv}{v} = (1 - 2\mu) \cdot (\epsilon_x + \epsilon_y + \epsilon_z) = \\ = \frac{1 - 2\mu}{E} (\sigma_x + \sigma_y + \sigma_z) \quad . \quad . \quad 5)$$

Oczywiście, że jeżeli niektóre wydłużenia, względnie naprężenia są ujemne, to wzory powyższe zachowują swą moc przy odpowiednim uwzględnieniu znaków.

W wypadku wszechstronnego i równomiernego rozciągania lub ściskania (naprężenia hydrostatycznego), t. j. gdy

$$\sigma_x = \sigma_y = \sigma_z = p,$$

otrzymujemy wyrażenie dla  $\frac{dv}{v}$  bezpośrednio ze wzoru (5)

$$\frac{dv}{v} = 3 p \cdot \frac{(1 - 2\mu)}{E} \quad . \quad . \quad 6)$$

Zwróćmy uwagę na tę okoliczność, iż w wypadku naprężeń  $\sigma_x, \sigma_y, \sigma_z$  i w wypadku wszechstronnego równomiernego naprężenia

$$p = \frac{\sigma_x + \sigma_y + \sigma_z}{3}$$

właściwy przyrost objętości jest jednakowy, co bezpośrednio wynika z porównania wzorów (5) i (6).

Wyrażenie  $p = \frac{\sigma_x + \sigma_y + \sigma_z}{3}$  nosi miano hydrostatycznego średniego naprężenia. Naprężenie hydrostatyczne nie wywołuje w elemencie naprężeń stycznych, gdyż  $\frac{p - p}{2}$  zawsze jest równe

zeru i nie powoduje odkształceń postaciowych lecz tylko objętościowe. Odpowiadająca mu wielkość:

$$e = \frac{\epsilon_x + \epsilon_y + \epsilon_z}{3} \quad \text{nosić miano}$$

średniego hydrostatycznego wydłużenia właściwego.

Tak więc naprężenia normalne  $\sigma_x, \sigma_y, \sigma_z$ , wywołują zmianę objętości elementu ciała, na który działają. Inaczej się rzecz ma z naprężeniami ścinającymi  $\tau_{xy}, \tau_{yz}, \tau_{zx}$ , te bowiem powodują tylko odkształcenie elementu, t. j. zmianę postaci, nie zmieniając jednak jego pierwotnej objętości. Jeżeli przed odkształceniem badanym elementem ciała jest prostopadłościan, to wskutek działania na jego ścianach naprężeń ścinają-

cych objętość elementu nie ulegnie zmianie (co widać już z odkształcenia polskiego elementu na rys. 2), lecz geometryczna postać jego zmieni się, a mianowicie: ściany jego dawniej prostokątne zamienią się na równoległoboki, a kąty proste, jakie z sobą tworzyły odpowiednie ściany będą po odkształceniu również mniejsze lub większe od kąta prostego.

W ogólnym więc przypadku odkształcenia rozróżnić można: 1) odkształcenie objętościowe, to jest pewną część całkowitego odkształcenia, pochodzącego od działania naprężeń normalnych i 2) odkształcenie postaciowe, to jest całkowite odkształcenie, pochodzące od naprężeń od ścinających, zwiększone o pozostałe odkształcenie, pochodzące od naprężeń normalnych. Naprężenia normalne bowiem powodują między innymi (to jest prócz zmiany objętości) również zmianę postaci, a naprężenia ścinające nie powodują zmiany objętości lecz tylko zmianę postaci.

Energja odkształcenia sprężystego jest równa co do wielkości absolutnej i różni się tylko znakiem od pracy sił wewnętrznych. Ta ostatnia zaś równa jest co do wielkości absolutnej pracy sił zewnętrznych jeżeli nie zachodziły straty w rodzaju tarcia w miejscach podporcia i inne. A więc wyznaczenie energii odkształcenia sprężystego sprowadza się do wyznaczenia pracy sił zewnętrznych, o ile odkształcenie odbywa się tak powolnie, iż siły bezwładności poruszających się mas mogą być pominięte. Energja odkształcenia sprężystego jest zawsze wielkością dodatnią lub równą zeru. Rozpatruje się ją zazwyczaj w odniesieniu do jednostki objętości, zwaną wówczas właściwą (albo względną) energją odkształcenia sprężystego i oznacza się przez  $\lambda$ .

Można dowieść w sposób ogólny, iż właściwa energja odkształcenia sprężystego ciała  $\lambda$  w najogólniejszym stanie napięcia we wszystkich wypadkach, gdzie ma miejsce zasada superpozycji, przedstawia się jako jednorodna funkcja kwadratowa samych naprężeń lub jako także funkcja tylko odkształceń.

Przy stopniowym powolnym wzrastaniu naprężenia normalnego  $\sigma$  zależność jego od wywołanego odkształcenia  $\epsilon$ , w granicach małych odkształceń przedstawia się linią prostą. Pole odpowiedniego trójkąta przedstawia właściwą (t. j. odniesioną do jednostki objętości) energję odkształcenia (sprężystego) nagromadzoną w materiale sprężystym przy odkształceniu rozciągania i jest równe

$$\lambda = \frac{1}{2} \cdot \sigma \cdot \epsilon = \frac{1}{2E} \cdot \sigma^2 = \frac{1}{2} E \epsilon^2 \quad . \quad (7)$$

Przy stopniowym, powolnym wzrastaniu naprężenia ścinającego  $\tau$  w jakimkolwiek przekroju, któremu zawsze towarzyszy naprężenie równe co do wielkości absolutnej w przekroju prostopadłym, zależność tego naprężenia  $\tau$  od wywołanego przezeń odkształcenia  $\gamma$ , (ujemnego przyrostu kąta prostego) w granicach małych od-

kształceń, przedstawia się linią prostą; pole odnośnego trójkąta przedstawia właściwą energję odkształcenia sprężystego, nagromadzoną w materiale sprężystym przy odkształceniu ścinania, odniesioną do jednostki objętości i równa się

$$\lambda = \frac{1}{2} \tau \gamma = \frac{1}{2G} \tau^2 = \frac{1}{2} G \gamma^2 \quad (7a)$$

Przy najogólniejszym — trójwymiarowym stanie napięcia wchodzi w grę sześć naprężeń składowych  $\sigma_x, \sigma_y, \sigma_z, \tau_{xy}, \tau_{yz}, \tau_{zx}$  i sześć odpowiednich odkształceń właściwych (albo względnych)  $\varepsilon_x, \varepsilon_y, \varepsilon_z, \gamma_{xy}, \gamma_{yz}, \gamma_{zx}$ .

Całkowita więc energia odkształcenia sprężystego w danym punkcie ciała, będącego w ogólnym stanie napięcia, odniesiona do jednostki objętości  $\lambda$  we wszystkich przypadkach, gdzie ma miejsce zasada superpozycji wyraża się:

$$\lambda = \frac{1}{2} (\sigma_x \varepsilon_x + \sigma_y \varepsilon_y + \sigma_z \varepsilon_z + \tau_{xy} \gamma_{xy} + \tau_{yz} \gamma_{yz} + \tau_{zx} \gamma_{zx}) \quad (8)$$

przyczem obojętne jest, jak zostały obrane kierunki osi współrzędnych: jeżeli są one kierunkami głównymi, to wówczas wyrażenie (8) redukuje się do

$$\lambda = \frac{1}{2} (\sigma_1 \varepsilon_1 + \sigma_2 \varepsilon_2 + \sigma_3 \varepsilon_3) \text{ lub}$$

$$\lambda = \frac{1}{2E} [\sigma_1^2 + \sigma_2^2 + \sigma_3^2 - 2\mu(\sigma_1\sigma_2 + \sigma_2\sigma_3 + \sigma_3\sigma_1)] \quad (8a)$$

Chcąc bowiem całkowitą energję właściwą (względna) odkształcenia w ogólnej formie (wzór 8) wyrazić w funkcji tylko naprężeń lub w funkcji tylko odkształceń, należy tylko wziąć pod uwagę, iż każde odkształcenie właściwe  $\varepsilon_x, \varepsilon_y, \varepsilon_z$  jest funkcją trzech naprężeń normalnych, a mianowicie:

$$\varepsilon_x = \frac{1}{E} [\sigma_x - \mu (\sigma_y + \sigma_z)]$$

$$\varepsilon_y = \frac{1}{E} [\sigma_y - \mu (\sigma_z + \sigma_x)]$$

$$\varepsilon_z = \frac{1}{E} [\sigma_z - \mu (\sigma_x + \sigma_y)]$$

gdzie wielkości w nawiasach [ ] zowią się naprężeniami sprowadzonymi albo zredukowanymi i że

$$\gamma_{xy} = \frac{1}{G} \tau_{xy} = \frac{2(\mu+1)}{E} \tau_{xy}$$

$$\gamma_{yz} = \frac{1}{G} \tau_{yz} = \frac{2(\mu+1)}{E} \tau_{yz}$$

$$\gamma_{zx} = \frac{1}{G} \tau_{zx} = \frac{2(\mu+1)}{E} \tau_{zx}$$

a więc

$$\lambda = \frac{1}{2E} [\sigma_x^2 + \sigma_y^2 + \sigma_z^2 - 2\mu (\sigma_x \sigma_y + \sigma_y \sigma_z + \sigma_z \sigma_x)] + 2(\mu+1) (\tau_{xy}^2 + \tau_{yz}^2 + \tau_{zx}^2) \quad (9)$$

$$\text{albo}$$

$$\lambda = \frac{1}{4(\mu+1)G} [\sigma_x^2 + \sigma_y^2 + \sigma_z^2 - 2\mu (\sigma_x \sigma_y + \sigma_y \sigma_z + \sigma_z \sigma_x) + 2(\mu+1) (\tau_{xy}^2 + \tau_{yz}^2 + \tau_{zx}^2)] \quad (9a)$$

Ponieważ  $\sigma_x^2 + \sigma_y^2 + \sigma_z^2 = (\sigma_x + \sigma_y + \sigma_z)^2 - 2\sigma_x \sigma_y - 2\sigma_y \sigma_z - 2\sigma_z \sigma_x$  to wyrażenie 9 i 9a przekształci się w sposób następujący:

$$\lambda = \frac{1}{2E} \left\{ (\sigma_x + \sigma_y + \sigma_z)^2 + 2(\mu+1) [\tau_{xy}^2 + \tau_{yz}^2 + \tau_{zx}^2 - (\sigma_x \sigma_y + \sigma_y \sigma_z + \sigma_z \sigma_x)] \right\}$$

$$\lambda = \frac{1}{4(\mu+1)G} \left\{ (\sigma_x + \sigma_y + \sigma_z)^2 + 2(\mu+1) [\tau_{xy}^2 + \tau_{yz}^2 + \tau_{zx}^2 - (\sigma_x \sigma_y + \sigma_y \sigma_z + \sigma_z \sigma_x)] \right\}$$

lub wreszcie:

$$\lambda = \frac{m}{4(m+1)G} (\sigma_x + \sigma_y + \sigma_z)^2 - \frac{1}{2G} (\sigma_x \sigma_y + \sigma_y \sigma_z + \sigma_z \sigma_x) + \frac{1}{2G} (\tau_{xy}^2 + \tau_{yz}^2 + \tau_{zx}^2) \quad (10)$$

Pierwszy wyraz prawej strony tego równania jest funkcją kwadratu średniego naprężenia hydrostatycznego i wyraża część energii odkształcenia sprężystego, wywołującego tylko zmianę objętości bez zmiany postaci. Trzeci wyraz jest funkcją naprężeń stycznych i wyraża część energii odkształcenia sprężystego, które przeciwnie nie wywołuje zmiany objętości, lecz tylko zmianę postaci — co do drugiego wyrazu prawej strony równania (10), to z góry powiedzieć trudno jakiego typu energję odkształcenia sprężystego on przedstawia.

To też przekształcając ten wyraz otrzymujemy:

$$\begin{aligned} & \frac{1}{2G} (\sigma_x \sigma_y + \sigma_y \sigma_z + \sigma_z \sigma_x) = \\ & = \frac{1}{4G} (2\sigma_x \sigma_y + 2\sigma_y \sigma_z + 2\sigma_z \sigma_x) = \\ & = -\frac{1}{4G} [(\sigma_x - \sigma_y)^2 + (\sigma_y - \sigma_z)^2 + (\sigma_z - \sigma_x)^2] + \frac{1}{4G} [2(\sigma_x + \sigma_y + \sigma_z)^2 - 4(\sigma_x \sigma_y + \sigma_y \sigma_z + \sigma_z \sigma_x)] \end{aligned}$$

albo rozwijając nawiasy [ ] mamy:

$$\begin{aligned} & \frac{1}{2G} (\sigma_x \sigma_y + \sigma_y \sigma_z + \sigma_z \sigma_x) = \\ & = -\frac{1}{4G} (\sigma_x - \sigma_y)^2 + (\sigma_y - \sigma_z)^2 + \end{aligned}$$



$$+ (\sigma_z - \sigma_x)^2 + \frac{1}{2G} (\sigma_x + \sigma_y + \sigma_z)^2 - \\ - \frac{1}{G} (\sigma_x \sigma_y + \sigma_y \sigma_z + \sigma_z \sigma_x)$$

i upraszczając otrzymamy:

$$\frac{3}{2G} (\sigma_x \sigma_y + \sigma_y \sigma_z + \sigma_z \sigma_x) = - \frac{1}{4G} [(\sigma_x - \sigma_y)^2 + \\ + (\sigma_y - \sigma_z)^2 + (\sigma_z - \sigma_x)^2] + \frac{1}{2G} (\sigma_x + \sigma_y + \sigma_z)^2 \\ \text{i ostatecznie:} \\ - \frac{1}{2G} (\sigma_x \sigma_y + \sigma_y \sigma_z + \sigma_z \sigma_x) = + \frac{1}{12G} [(\sigma_x - \\ - \sigma_y)^2 + (\sigma_x - \sigma_z)^2 + (\sigma_z - \sigma_x)^2] - \frac{1}{6G} (\sigma_x + \\ + \sigma_y + \sigma_z)^2$$

Tak więc drugi wyraz równania (10) przedstawia sumę pewnej części energii sprężystego odkształcenia objętościowego:  $-\frac{1}{6G} (\sigma_x + \sigma_y + \sigma_z)^2$  i energii odkształcenia postaciowego  $+\frac{1}{12G} [(\sigma_x - \sigma_y)^2 + (\sigma_y - \sigma_z)^2 + (\sigma_z - \sigma_x)^2]$

$+(\sigma_z - \sigma_x)^2]$ , zawdzięczając naprężeniom normalnym, gdyż wyrażenie  $-\frac{1}{6G} (\sigma_x + \sigma_y + \sigma_z)^2$  jest funkcją kwadratu średniego naprężenia hydrostatycznego  $p = \frac{\sigma_x + \sigma_y + \sigma_z}{3}$  i wyraża część całkowitej energii odkształcenia sprężystego, wywołującego zmianę tylko objętości bez zmiany postaci, a wyrażenie  $\frac{1}{12G} [(\sigma_x - \sigma_y)^2 + (\sigma_y - \sigma_z)^2 + (\sigma_z - \sigma_x)^2]$  jest funkcją kwadratów największych naprężeń stycznych:

$$\frac{\sigma_x - \sigma_y}{2}; \frac{\sigma_y - \sigma_z}{2}; \frac{\sigma_z - \sigma_x}{2}$$

działających w określonych wyżej płaszczyznach osi współrzędnych  $xy, yz, zx$  i pochodzących z naprężeń normalnych:  $\sigma_x$  i  $\sigma_y$ ;  $\sigma_y$  i  $\sigma_z$ ;  $\sigma_z$  i  $\sigma_x$ .

Naprężenia te, jak wogóle naprężenia styczne, nie wywołują zmiany objętości, lecz tylko zmianę postaci.

(d. c. n.)

Prof W. IWANOWSKI i inż. P. WOJCIESZAK.  
Zakł. Techn. Fermentacji Politechniki Warszawskiej.

## WYNIKI UŻYCIA SPIRYTUSOWYCH MIESZANEK NAPĘDOWYCH.

Od 3 lat z górą prowadzone są w Politechnice Warszawskiej, z ramienia Komitetu Popierania Technicznych Zastosowań Spirytusu przy Polskim Towarzystwie Chemicznym, próby i doświadczenia nad mieszanekami spirytusowymi do celów napędowych.

Szczegółowe rezultaty tych prac zostały opublikowane w wydanej przez wyżej wspomniany Komitet, broszurze p. t. „Zagadnienie paliwa spirytusowego w Polsce” str. 131, Warszawa 1929. (Nakład Naczelnej Organizacji Przemysłu Górzeln Rolniczych, ul. Czackiego 3, tamże do nabycia). W wyniku tych prób zostało określone działanie poszczególnych składników mieszanki i ustalono kilka typów mieszanek, które na podstawie setek doświadczeń powinny dawać najlepsze rezultaty w użyciu.

Tych kilka typów zostało poddane szczegółowemu badaniu porównawczemu z benzyną na silnikach stacyjnych. Dokładne wyniki porównawcze można osiągnąć jedynie na dobrze urządzonym silniku stacyjnym, gdzie obciążenie i ilość obrotów mogą być utrzymane na dość stałym

poziomie i mierzone za pomocą dokładnych przyrządów.

Do prób przygotowano 4 typy mieszanek na spirytusie uwodnionym i bezwodnym. Charakterystyka składu tych mieszanek jest następująca:

Typ mieszanki	Zawartość spirytusu	Moc spirytusu
CN1	50 %	94° Tr.
CTN	50 %	absolutny
CN3	50 %	absolutny
T1	35 %	absolutny

Wszystkie te mieszanki odpowiadają warunkom, stawianym przez francuski Office National de Combustibles Liquides dla mieszanek spirytusowych. Oprócz tego zbadano mieszanekę t. zw. „Polminowską” kupioną wprost z pompy benzynowej przy ul. Kopernika w Warszawie. Mieszanka ta przepisowo zawiera 30% alkoholu absolutnego. Dla porównania użyto benzyny „Standard Nobel” o c. wł. 0,725.

Próby przeprowadzono na silniku „Renault” 4-cylindrowym o mocy ok. 8 KM. i ilości

obrotów ok. 1500/min., oraz na silniku „CWS“, 4-cylindrowym, o mocy ok. 30 KM. i ilości obrotów ok. 1500/min.<sup>1)</sup> Silnik Renault połączony był z prądnicą, której prąd gubiony był w oporniku elektrolitycznym, zaś silnik „CWS“ — z dynamometrem systemu Frouda. Zużycie benzyny na koniagodzinę przy pełnym obciążeniu wynosiło:

dla silnika Renault — 547 cm t. j. 397 gr.

„ „ CWS — 395 cm t. j. 287 gr.

Silnik pędzono przy trzech obciążeniach ( $P=1$ ,  $P=2/3$ ,  $P=1/3$ ), utrzymując stałą liczbę obrotów. Tego rodzaju próba daje nam najbardziej zbliżony obraz do pracy silnika w samochodzie, gdzie silnik pracuje przeważnie na obciążeniu od  $P=1/2$  do  $P=1/3$ , osiągająca maksymalną moc jedynie przy pokonywaniu większych wzniesień. Średnie wyniki z tych trzech obciążeń powinny dać najbardziej przybliżone porównanie pracy mieszanki i benzyny na szosie.

<sup>1)</sup> Próby na silniku „Renault“ wykonano w Zakładzie Maszyn Ciepłych Politechniki Warszawskiej, zaś próby na silniku „CWS“ — w Państwowej Wytwórni Samochodów na Pradze, ul. Terespolska.

### Wyniki prób.

Typ mieszanki	Oszczędność w procentach objętościowych w zużyciu mieszanki w stosunku do benzyny na KM-godzinę przy			średnio
	$P = 1$	$P = \frac{2}{3}$	$P = \frac{1}{3}$	
Silnik „Renault“ 4-cylindrowy, o mocy ok. 8 KM.				
CN1	2,75 %	8,55 %	—	5,65 %
CTN	— 1,80 „*)	4,40 „	8,48 %	3,70 „
CN3	15,60 „	7,56 „	7,35 „	10,16 „
T1	21,12 „	14,14 „	14,93 „	16,70 „
Silnik „CWS“ 4-cylindrowy o mocy ok. 30 KM.				
CN1	6,15 %	16,50 %	15,00 %	12,55 %
CTN	6,20 „	8,20 „	17,60 „	10,70 „
CN3	7,10 „	8,88 „	13,00 „	9,73 „
T1	9,90 „	8,60 „	10,70 „	10,70 „
„Polminowska“	2,77 „	5,37 „	9,29 „	5,77 „

Z powyższych wyników widzimy, że umiejętnie zestawione mieszanki, zarówno na spirytusie absolutnym jak i uwodnionym, dając taki sam efekt siłowy jak benzyna, powodują mniejsze zużycie objętościowe na koniagodzinę. Silnik pędzony mieszanką daje równiejszy bieg, co się wyraża w znacznie zmniejszonym iskrzeniu prądnicy (przy próbach na silniku „Renault“) względnie cichszym biegu motoru (próby na silniku „CWS“).

\*) T. j. większe od benzyny zużycie mieszanki.

W. ROKITOWSKI, inż.

## WYBUCH ZBIORNIKA POWIETRZNEGO POD CIŚNIENIEM.

(4 wypadek od początku 1929 roku).

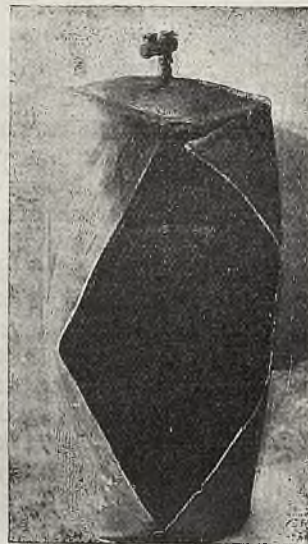
W dniu 7 lutego br. o godz. 16-ej wybuchł zbiornik powietrzny w zakładzie do maszynowego lakierowania samochodów w Białej.

Zbiornik był częścią składową urządzenia do maszynowego lakierowania, mianowicie kompresor tłoczył powietrze do zbiornika, skąd ściśnione powietrze było pobierane do przyrządów lakierniczych.

Zbiornik pękł przez szew spawany, jak po-daje rys. 1. Bezpośrednio po wybuchu, po zawiadomieniu przez właściciela, stwierdzono, że manometr mimo wybuchu nie został zniszczony, wskazówka zaś ustaliła się przy 3 atmosferach. Zbiornik posiadał sprężynowy zawór bezpieczeństwa bez ustalającej rurki, któraaby zabezpieczała przed zbytaniem przyciągnięciem sprężyny.

Zbiornik pracował pod ciśnieniem 6—7 atn. Na zastosowanie większego ciśnienia nie pozwalał kompresor. Zawór bezpieczeństwa nastawiony był na ciśnienie 10 atn. Przy działaniu zaworu ciśnienie jednak nie opadało zbyt szybko. Zawór sykiem raczej ostrzegał o osiągnięciu pewnego ciśnienia. Próbę działania zaworu wykonano zapomocą ciśnienia wody. Obecny przy wybuchu pracownik stwierdził, że manometr wskazywał 4 atn ciśnienia.

Po rozebraniu zaworu stwierdzono, że grzybek chodził lekko, niezacierał się, ani też otwór



Rys. 1.

nie był zabity, tak samo otwór prowadzący do manometru był czysty.



Zbiornik został dostarczony przez wiedeńską firmę Paneck i Sohn wg. zamówienia z dnia 29 marca 1928. Wg. listu zbiornik był wypróbowany ciśnieniem 15 *atn*, jednak o ciśnieniu roboczym zbiornika firma dostarczająca *nie wspomina*.

Właściciel zbiornika zażądał od firmy Paneck z Wiednia rysunku zbiornika, dalej wyjaśnienia, z jakiego materiału był zbiornik wykonany, jak spawany i na jakie ciśnienie robocze zbudowany — jednak firma dotychczas mimo przyna-  
glań nie odpowiedziała.

Tabela I podaje wyniki przeprowadzonych w wytwórni Bartemus i Suchy w Bielsku badań wytrzymałości materiału na rozerwanie.

Przyjmujemy, że próba była robiona tak jak dla naczyń parowych pod ciśnieniem, (wg. przepisów austrijackich).

Ciśnienie robocze  $\times 1.5 + 1 \text{ at}$ , z czego ciśnienie robocze dla zbiornika wypadłoby około 9 *atn* licząc pewność szwu spawanego autogennym na styk 0,3, wytrzymałość blachy na rozerwanie 24  $\text{kg/mm}^2$  nie uwzględniając dodatku na rdzewienie 1 *mm* i przyjmując pewność mocy 5 wypadłaby grubość blach przy średnicy 480 *mm*:

$$s = \frac{p \times D \times x}{200 \times 42,6 \times 0,3} = \frac{9 \times 480 \times 5}{200 \times 42,6 \times 0,3} = 8,5 \text{ mm}$$

gdy jest tylko 4,8 *mm* sam więc zbiornik był *za słabo wykonany*, a szczególnie *nieudolnie był wykonany spaw* i to *właśnie było powodem wybuchu*.

TABELA I.

Przedmiot badania: stara blacha Kottłowa.

Rodzaj próbek: paski po szerokiej stronie nieobrobione, po wąskiej heblowane.

Znakowanie pasków . . .	1	2
Przekrój, <i>mm</i> . . . . .	4,8 $\times$ 19,7	4,8 $\times$ 19,7
„ <i>mm</i> <sup>2</sup> . . . . .	94,6	94,6
Długość, <i>mm</i> . . . . .	122	122
Siła zrywająca, <i>kg</i> . . . . .	4050	4050
„ <i>kg/mm</i> <sup>2</sup> . . . . .	42,6	42,6
Ciągliwość . . . . .	Z powodu niejedności materiału rozerwanie obu pasków nastąpiło po za granicami długości pomiarowej wobec czego ciągliwość nie mogła być dokładnie ustalona.	

## PRZEGLĄD KSIĄŻEK.

### ELEKTRYFIKACJA POLSKI.

Zeszyt IV. W-wa 1929.

Nasze Zagłębie Węglowe, a szczególnie dzielnica Śląska obfituje w zasoby energetyczne, których racjonalne wyzyskanie do celów elektryfikacyjnych wpłynęłoby wydatnie na podniesienie stanu gospodarczego Państwa. Szczególniejsze znaczenie dla racjonalnej gospodarki

węglowej posiadają zagadnienia z jednej strony zużycia mniej wartościowych gatunków węgla, a głównie miału, trudnego do zbytu, bezużytecznie leżącego na zwalach, a z drugiej strony znaczne rezerwy maszynowe w elektrowniach kopalnianych i w hutach Zagłębia.

Jako wyjście z sytuacji jest wskazana współpraca elektrowni Zagłębia, przetwarzających miał na energię elektryczną, zasilającą wspólną sieć przewodów.

## BADANIA WODY

Biuro Oregu Lwowskiego Stowarzyszenia Dozoru Kottłów w Warszawie (Lwów, ul. Św. Teresy 1. 10) wykonuje analizy wody do zasilania kottłów parowych, (wody surowej, zmiękczonej, skroplin) oraz udziela porad w zakresie zwalczania szkodliwych skutków działania wody zasilającej na blachy kottłów.

Do wykonania analizy należy nadesłać próbkę wody w ilości 3 litrów. Próbkę należy przysyłać w butelkach ze szkła bezbarwnego, dobrze wmytych, kilkakrotnie wypłukanych wodą, z której ma być pobrana próbka, zamkniętych nowymi korkami i zalakowanych.

Cena kompletnej analizy wynosi 40 zł.



# FABRYKA PALENISK MECHANICZNYCH

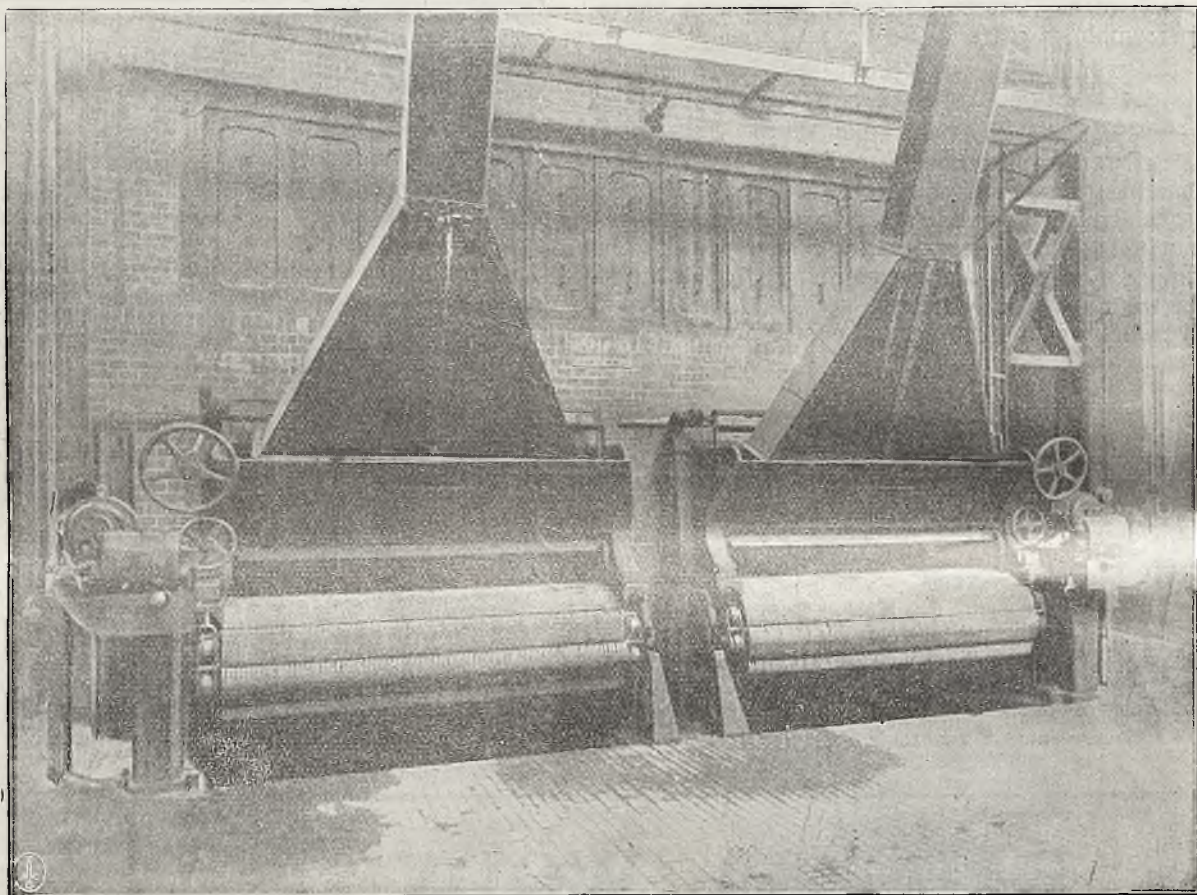
Tow. z ogr. odp.

(WANDERROST-WERKE G. m. b. H.)

MIKOŁÓW, Polski G. Śląsk

Specjalna Fabryka Rusztów Mechanicznych syst. „IDEAL“

Wykonano przeszło 1500 rusztów mechanicznych syst. „IDEAL“.



Rusztły mechaniczne syst. „IDEAL” NA KOPALNI „OHEIM” G. ŚLĄSK.

WYROBY FABRYKI:

1. **RUSZTY MECHANICZNE** syst. „IDEAL” z podwiewem i bez podwiewu.
  - a) AMERYKAŃSKIE wiszące sklepienia paleniskowe.
2. PRZEWODY rurowe wysokiego i niskiego ciśnienia.
3. URZĄDZENIA DO OCZYSZCZANIA WODY patentowane do wszelkich celów.
4. **Odlewy żeliwne** maszynowo i ręcznie formowane, od najmniejszych do 5000 kg wagi, surowe i obrabiane.
  - a) Przewody rurowe żeliwne do 1200 mm średnicy.

GENERALNY PRZEDSTAWICIEL Inż. WŁ. BUDZIŃSKI WARSZAWA, Smolna 25, Tel. 39-32.